

- Semicondutores

Até agora, nosso foco tem sido na discussão das propriedades de transporte de metais. Isso causa da alta densidade de estados \Rightarrow alta densidade de portadores mesmo para $T=0$ a condutividade é determinada por impurezas e por outros processos de espalhamento:

$$\sigma = \frac{m e^2 T}{m} \quad (\text{fórmula de Drude})$$

Para metais $n(T) \approx n(T=0)$ e toda a dependência com T vem de $\bar{\epsilon} \equiv \bar{\epsilon}(T)$. Por exemplo, se T aumenta aumenta o # de fôtons e $\bar{\epsilon}$ diminui (mais fácil/provável de espalhar)

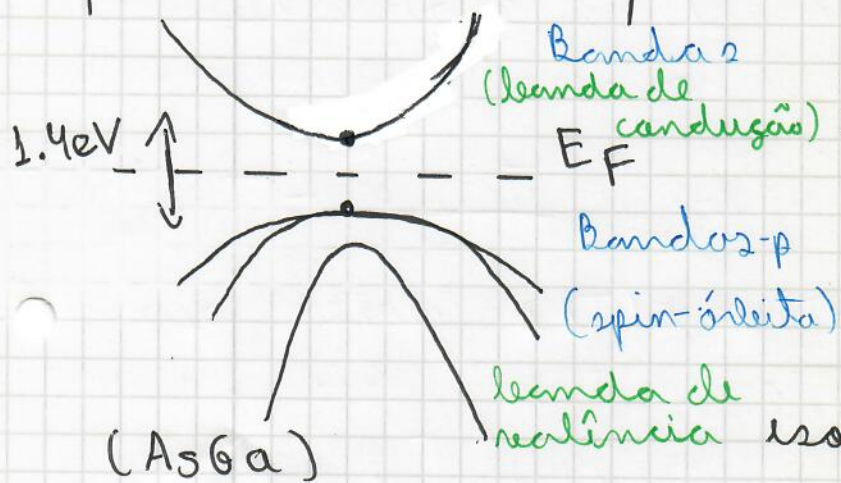
$$\frac{d\sigma}{dT} < 0 \text{ (metal)} ; \frac{d\sigma}{dT} > 0 \text{ (isolante)}$$

Para o isolante, a banda está cheia para $T=0$ e temos $n=0 \Rightarrow \sigma=0$. Contudo, a temperatura é capaz de ativar térmicamente elétrons da banda de valência para banda de condução, o que leva a $\sigma(T>0) > 0$ (ainda que menor que de um metal)

Um caso muito importante de isolantes são os semicondutores. Nesse caso, o gap entre as bandas $\Delta \approx 2eV$ (temperatura ambiente corresponde a $\sim 0.025eV$). Os exemplos mais famosos são Si ($\Delta \approx 1.12eV$) e Ge ($\Delta \approx 0.64eV$) que não são sólidos covalentes e se cristalizam na

2

rede do diamante. Ela também compostas
lunários AsGa, HgTe dentro outros. Como no
caso do C, os orbitais m_s e m_p , $m = 3, 4, 5, 6$
não são relevantes. Estruturas de banda
típicas possuem seus máximos e mínimos nas
proximidades do ponto Γ (centro da BZ)



Mesmo caso, temos
um gap direto. Se a
ordem das bandas
for invertida (HgTg)
podemos ter um
isolante topológico.

Se o mínimo da banda estiver longe do
ponto- Γ temos vários mínimos independentes
que levam à chamada degenerescência de
vale (lembrem-se dos pontos K e K' no grafeno).
Nesse caso temos um gap indireto, pois o
mínimo da banda de condução não ocorre
no mesmo ponto $\vec{\Gamma}$ que o máximo da banda
de valência. Exemplos notáveis são o
Ge ($\deg = 4$) e Si ($\deg = 6$).

Sina a maior parte das propriedades dos
semicondutores, apenas estados nos extremos
das bandas de valência e condução importam
e aí paramos escrever:

$$E = E_C + \frac{\hbar^2}{2m^*} |\vec{k} - \vec{k}_0|^2 \quad \text{e} \quad E_{\text{buraco}} = -E_{\text{buraco}} + \frac{\hbar^2}{2m_{\text{buraco}}^*} |\vec{k} - \vec{k}_0|^2,$$

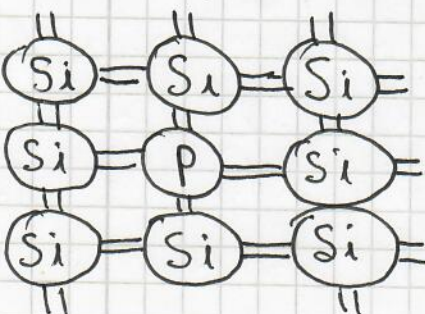
em que definimos a massa do buraco como $m_{buraco}^* = -m^* = -\left(\frac{\partial^2 E}{\partial k^2}\right) h^2$. ③

Seguiremos nossa definição que $m_{buraco}^* > 0$, mas que $E_{buraco}(\vec{k}) = -E(\vec{k})$ por simplicidade, consideraremos a massa efetiva como isotrópica nessa primeira abordagem.

- Adicionando elétrons ou buracos com impurezas: dopagem

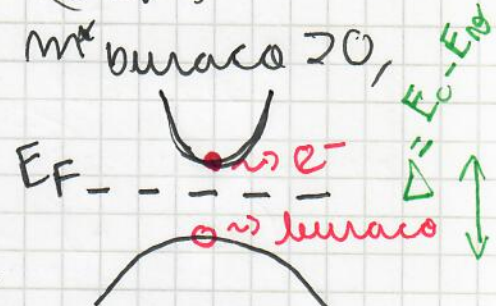
Se excitarmos elétrons da banda de condução (tanto com fôtons ou termicamente) saímos que densidade de e^- na banda de condução ($n \rightarrow$ cargas negativas) é exatamente igual à densidade de buracos na banda de valência ($p \rightarrow$ carga positiva). Esse é o caso dos semicondutores intrísecos. Em oposição a ele temos o caso extríseco em que adicionamos cargas por meio de uma impureza.

Vamos inserir um caso específico Si dopado com P, Si:P.

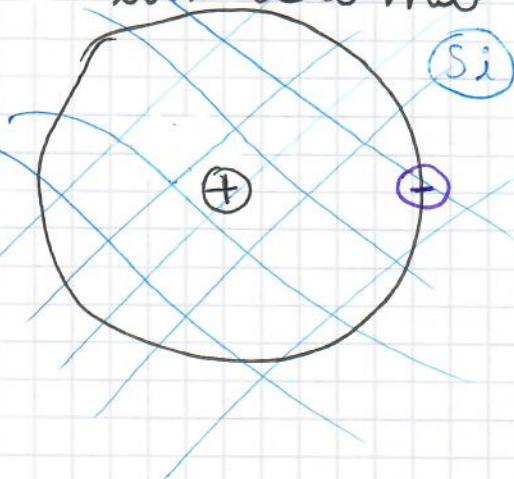


$$[Si] = [Ne] 3s^2 3p^2$$

O fósforo possui um elétron a mais que o Si. À primeira vista, esse elétron deveria ir para a banda de condução, pois a banda de valência está cheia. Contudo, não é isso



que ocorre. O próton extra do P faz com que esse fique preso a ele formando um átomo de hidrogênio efetivo. Esse estado



Si

ligado, contudo possui uma energia de ionização muito menor que o gap Δ .

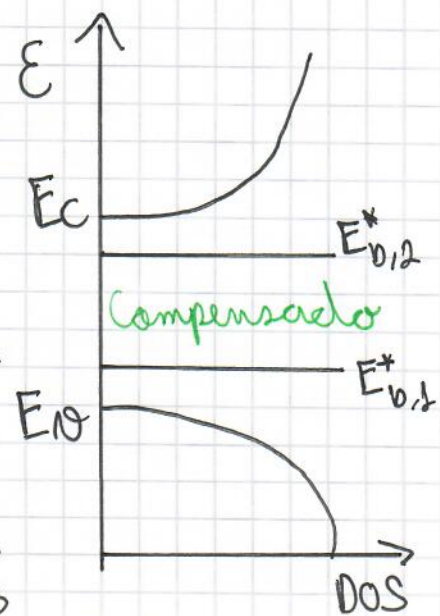
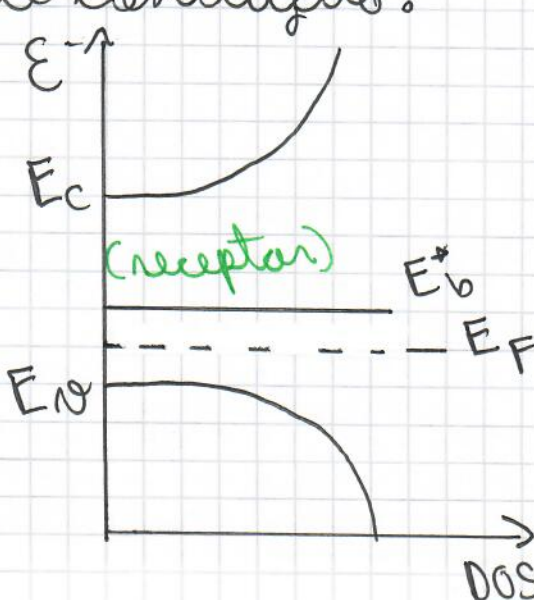
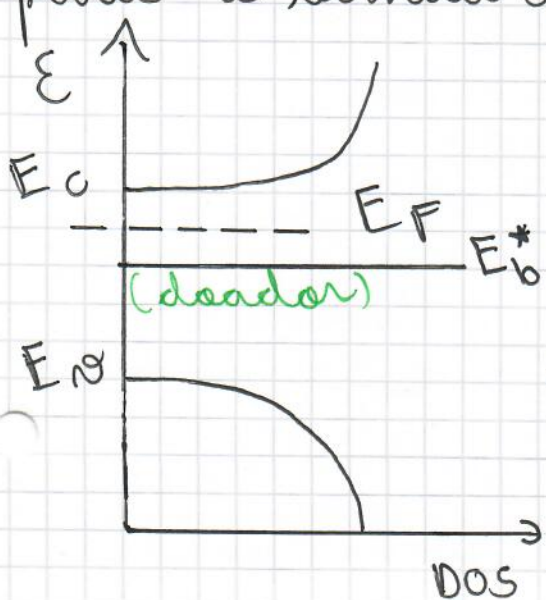
$$m_e \rightarrow m^* \text{ (massa efetiva)}$$

$$V = \frac{e^2}{4\pi\epsilon_0\epsilon_r r} , \epsilon_r \rightarrow \text{constante dielétrica do material}$$

- $R_y = \frac{me^2}{8\epsilon_0^2 h^2} \rightarrow R_y \left(\frac{m^*}{m_e} \frac{1}{\epsilon_r^2} \right) = 13.6 \frac{m^*}{m_e} \frac{1}{\epsilon_r^2}$
- $a_0 = \frac{4\pi\epsilon_0 k^2}{me^2} \rightarrow a_0 \left(\epsilon_r \frac{m_e}{m^*} \right) = 0.51 \text{ Å} \epsilon_r \frac{m_e}{m^*}$

Para o caso do Si, a energia de ligação efetiva E_b^* é da ordem de 0.01 eV e o raio de Bohr efetivo é de 30 Å. Isso porque $\epsilon_r \sim 10-20$ e $m^* \approx m_e/3$.

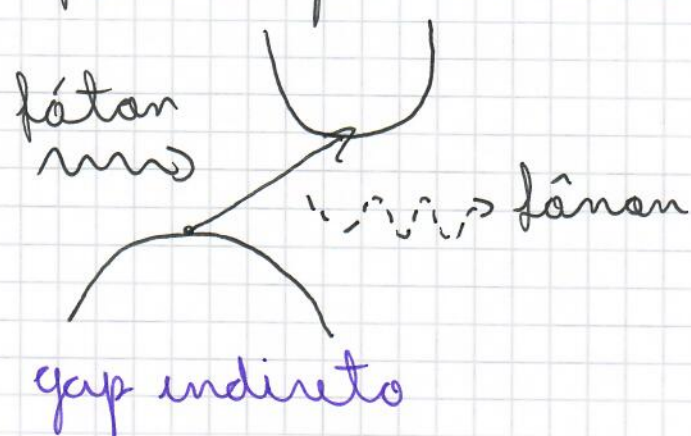
Como a energia de ionização é pequena, vemos que esses doadores (elétrons extras) serão ionizados já para T ambiente e não facilmente para a leitura de condução.



Processos ópticos em semicondutores

Um método muito difundido para estudarmos a propriedades eletrônicas de materiais consiste em estudar sua resposta óptica, ou seja, como os elétrons respondem a ondas eletromagnéticas de altas frequências.

Por simplicidade, vamos nos ater a processos de primeira ordem no qual os elétrons podem trocar seu estado emitindo ou absorvendo um único fóton. Como as energias envolvidas são da ordem de 1 eV , temos uma situação muito parecida com o espalhamento de raios-X com o momento que é desse tipo do fóton $\Delta E/c \ll \hbar/q$ porque c é grande. Isso, podemos "desprezar" o momento do fóton e vemos que uma transição direta é possível, mas que uma indireta é mais difícil e deve envolver fôtons para conservar momento



Um outro fator interessante é a formação de um exciton, por elétron buraco (lembre-se que o buraco tem carga +e)

Sabemos calcular a energia desse estado ligado utilizando argumentos similares aos do cálculo dos estados de uma impureza:

$$E_b^* = \mu^* / m_e \frac{1}{\epsilon_r^2} \cdot 13.6 \text{ eV}, \quad \begin{matrix} \text{massa reduzida} \\ \text{efetiva par.} \end{matrix}$$

$$a_b^* = M_e / \mu^* \epsilon_r \cdot 0.51 \text{ Å}, \quad \mu^* = \frac{m^* M_{buraco}}{m^* + M_{buraco}}$$

Movimento, $E_b^* < \Delta$



$E_1f = \Delta$ (direto)
 $E_1f \neq \Delta$ (indireto)
 Precisamos compensar o fômeno

A taxa de absorção dão uma medida de Δ , mas tem muito mais. Isso é difícil de "ler" na prática.

- Mecânica estatística de semicondutores.

Vamos agora estudar a ocupação das bandas de valência e condução como função da temperatura

Já vimos que a densidade de estados, por unidade de volume, para elétrons livres em 3d é

$$g(\epsilon) = \frac{(2m)^{3/2}}{2\pi^2 n^3} \sqrt{\epsilon}, \quad \epsilon \geq 0$$

No presente caso, a aproximação de massa efetiva funciona bem e temos

(4)

$$g_c(E) = \frac{(2m^*)^{3/2}}{2\pi^2 h^3} \sqrt{E - E_c} \quad (\text{banda de condução})$$

$$g_v(E) = \frac{(2m^*_{\text{buraco}})^{3/2}}{2\pi^2 h^3} \sqrt{E_v - E} \quad (\text{banda de valência})$$

O número de elétrons na banda de condução é:

$$n(T) = \int_{E_c}^{\infty} dE g_c(E) n_F[\beta(E-\mu)] = \int_{E_c}^{\infty} dE \frac{g_c(E)}{e^{\beta(E-\mu)} + 1}$$

Se $\mu < E_c$ (potencial químico, abaixo da banda de condução) temos $\beta(E-\mu) \gg 1$

Mesmo para temperatura ambiente ($T_{\text{ambiente}} \approx 40$) podemos escrever que:

$$\frac{1}{e^{\beta(E-\mu)} + 1} \propto e^{-\beta(E-\mu)}$$

\Rightarrow podemos trocar Fermi-Dirac por Boltzmann se $n(T) \ll 1$. Esse é um resultado geral.

$$\begin{aligned} n(T) &\approx \int_{E_c}^{\infty} dE g_c(E) e^{-\beta(E-\mu)} \\ &= \frac{(2m^*)^{3/2}}{2\pi^2 h^3} \int_{E_c}^{\infty} dE (E - E_c)^{1/2} e^{-\beta(E-\mu)} \\ &= \frac{(2m^*)^{3/2}}{2\pi^2 h^3} e^{\beta(\mu - E_c)} \int_{E_c}^{\infty} dE (E - E_c)^{1/2} e^{-\beta(E-E_c)} \end{aligned}$$

$$y^2 = E - E_c \Rightarrow dE = 2y dy \quad \frac{1}{2} \beta^{3/2} \sqrt{\pi}$$

$$\begin{aligned} n(T) &= \frac{(2m^*)^{3/2}}{2\pi^2 h^3} e^{\beta(\mu - E_c)} 2 \int_0^{\infty} y^2 e^{-\beta y^2} dy \\ &= \frac{1}{4} \left(\frac{2m^* K_B T}{\pi h^2} \right)^{3/2} e^{-\frac{(E_c - \mu)}{K_B T}} \end{aligned}$$

Essa expressão é essencialmente uma ativação espacial do potencial químico até o fundo da banda de condução. De modo análogo a densidade de buracos na banda de valência é:

$$p(T) = \int_{-\infty}^{E_F} dE \delta_n(E) [1 - n_F(\beta(E - \mu))]$$

1 - probabilidade de estar ocupado por um e⁻
 \Rightarrow estado vazio \Rightarrow buraco

$$p(T) = \int_{-\infty}^{E_F} dE \delta_n(E) \frac{e^{\beta(E - \mu)}}{1 + e^{\beta(E - \mu)}} \approx \int_{-\infty}^{E_F} dE \delta_n(E) e^{\beta(E - \mu)} \underbrace{\frac{1}{1 + e^{\beta(E - \mu)}}}_{\ll 1}$$

$$p(T) = \frac{1}{4} \left(\frac{2 m^*_{\text{buraco}} K_B T}{\pi \hbar^2} \right)^{3/2} e^{-\beta(\mu - E_n)}$$

Uma relação crucial é a seguinte:

$$n(T) p(T) = \frac{1}{2} \left(\frac{K_B T}{\pi \hbar^2} \right)^3 (m^* m^*_{\text{buraco}})^{3/2} e^{-\Delta/K_B T},$$

$$\Delta = E_c - E_n \rightarrow \text{gap}$$

Essa relação é conhecida como lei de ação das massas. Ela é independente da dopagem do material (em equilíbrio). A analogia com reações químicas é precisa: um portador de carga é gerado pela dissociação de um elétron e um buraco, de maneira que suas concentrações são fixas.

- Semicondutores intrínsecos.

Nesse caso $n(T) = p(T)$ por definição. Iai:

$$\frac{1}{4} \left(\frac{2m^* K_B T}{\pi k_B^2} \right)^{3/2} e^{-(E_c - \mu)/K_B T} = \frac{1}{4} \left(\frac{3}{2} \right)^{3/2} e^{-\frac{(\mu - E_v)}{K_B T}} \quad (9)$$

$$\left[\frac{m^*}{m^*_{buraco}} \right]^{3/2} = e^{\frac{1}{K_B T} (E_v + E_c - 2\mu)}$$

$$\mu = \frac{1}{2} (E_c + E_v) + \frac{3}{4} K_B T \ln \left[\frac{m^*_{buraco}}{m^*} \right]$$

\Rightarrow para $T=0$ o potencial químico localiza-se no meio do cap. $K_B T \ll \Delta$

$$I = n_{extrínseco} = P_{extrínseco} = \sqrt{n p} = \frac{1}{\sqrt{2}} \left(\frac{K_B T}{\pi k_B^2} \right)^{3/2} (m^* m^*_{buraco})^{3/2} \times e^{-\Delta/2 K_B T}. \quad (\mu \text{ não aparece no produto})$$

- Semicondutores dopados ou extrínsecos
Para semicondutores dopados, a lei de ação das massas ainda vale. Contudo

$D = n - p$, $D = \text{dopagem} \Rightarrow$ contribuição das impurezas. Pode ser p ou n .

$$I^2 = n p \quad (\text{ação das massas})$$

$$D^2 + 4I^2 = (n - p)^2 + 4(n p) = (n + p)^2$$

$$\Rightarrow n = \frac{1}{2} ([D^2 + 4I^2]^{1/2} + D)$$

$$p = \frac{1}{2} ([D^2 + 4I^2]^{1/2} - D)$$

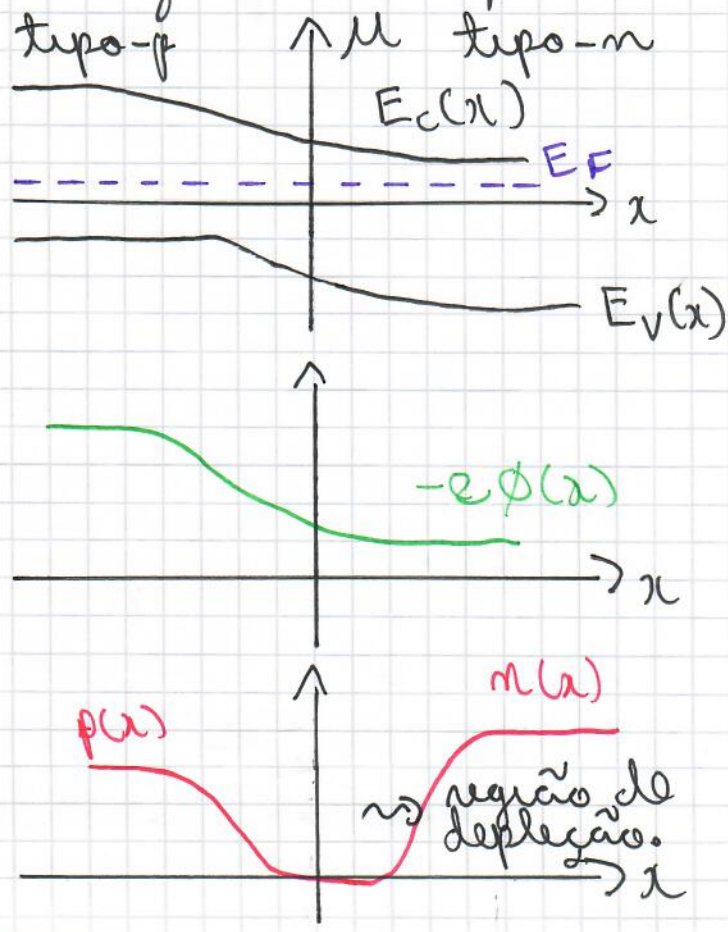
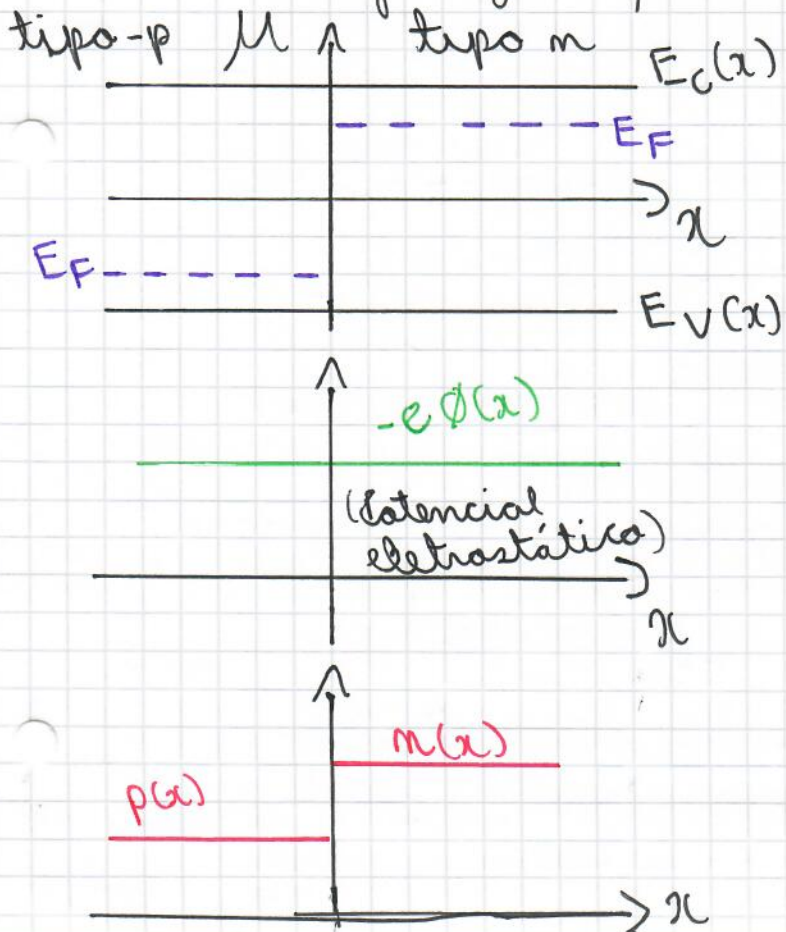
Obtemos assim a densidade de portadores em termos de seus valores intrínsecos I e da dopagem D . Se $I \gg D$, os dopantes não fazem nada. Contudo, se $D \gg I$, a maioria dos portadores é determinada pelo doping apenas (regime extrínseco).

- Juncão p-n

Até o momento, consideramos apenas semicondutores homogêneos: apenas dopagem extríseca ou dopagem uniforme de único tipo (fixada pelo sinal de D). Vamos agora estudar o caso de semicondutores heterogêneos. Vamos começar com uma das estruturas mais simples a juncão p-n:



Nesse caso, é necessário movimento de carga através da juncão para atingirmos o equilíbrio



A diferença inicial no potencial químico faz com que elétrons movam-se do lado-n para o lado-p até que EF fique igual dos dois lados.

Essa redistribuição de cargas leva a um entortamento das bordas das bandas. Isso é porque aparece um potencial eletrostático não uniforme.

Outra consequência é que na interface hó a aniquilação de elétrons e buracos levando a uma camada de depleção. Como resultado, o número de portadores não ligados nessa região é suprimida e a resistividade aumenta muito, com essa região dominando a resistência de todo o dispositivo.

Para relacionarmos a variação da densidade de portadores com o potencial eletrostático lançamos mão da equação de Lasson:

$$\frac{d^2\delta(x)}{dx^2} = -\frac{\delta(x)}{\epsilon_0 \epsilon}, \quad \delta(x) = \epsilon [\delta_p(x) - \delta_n(x)]$$

relação ao caso realado.

Uma modelagem microscópica é necessária para uma solução detalhada, embora seja possível "advinhar" a forma de $\delta(x)$ lembrando que $\delta(x)$ varia apreciavelmente apenas na camada de depleção.

A condição de contorno do problema diz que:

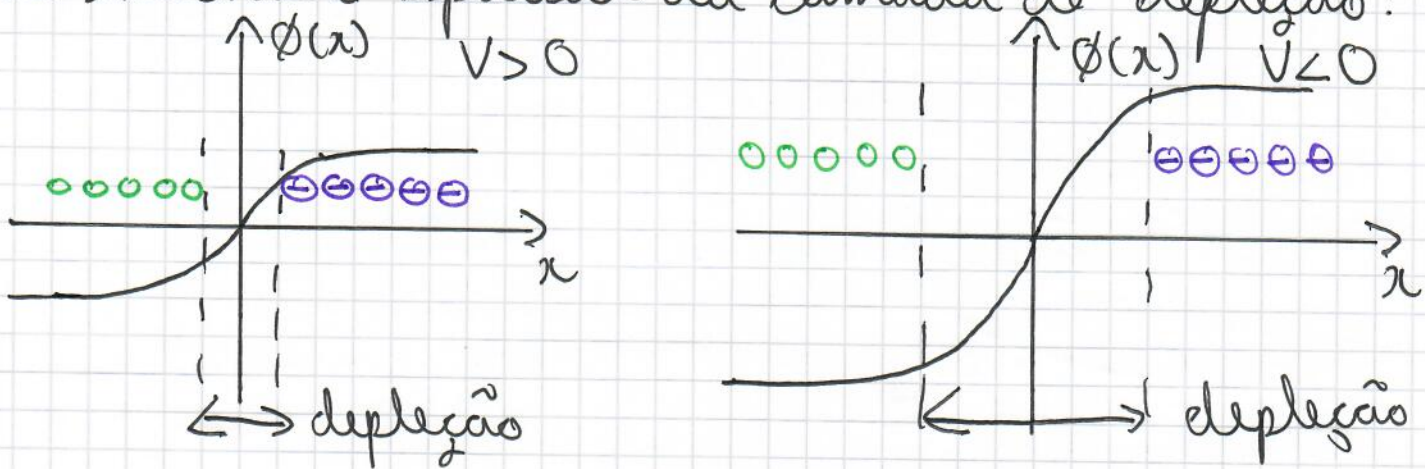
$$e\Delta\phi(x) = e\phi(\infty) - e\phi(-\infty) = \mu_n - \mu_p \Rightarrow \text{antes do equilíbrio}$$

E podemos chegar à forma desejada.

A funcionalidade mais importante da junção p-n é a retificação: a resistência para voltagem direta (maior do lado -p) é menor do que a voltagem reversa (maior do lado n). Para capturarmos esse fenômeno qualitativamente escrevemos

$$e\Delta\phi(x) = e\Delta\phi_{eq} - eV, V \rightarrow \text{voltagem externa.}$$

A figura abaixo ajuda a entender esse efeito em termos dos portadores de carga e da extensão espacial da camada de depleção:



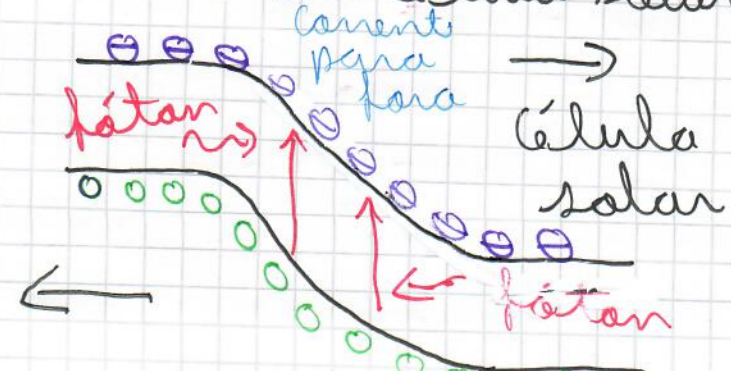
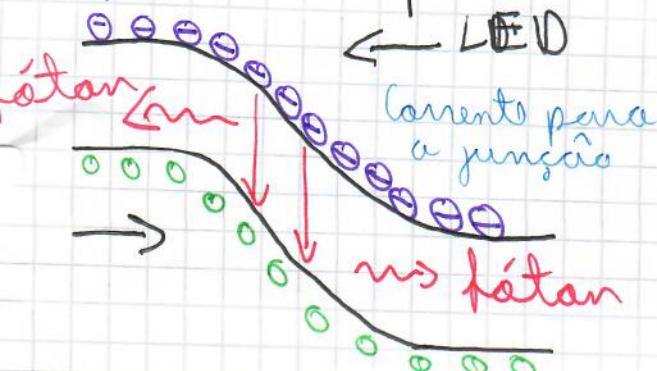
A junção p-n é bloco fundamental para muitos equipamentos eletrônicos: diodos e transistor bipolar.

Além dessa importantíssima propriedade de retificação, a junção p-n possui propriedades ópticas muito interessantes

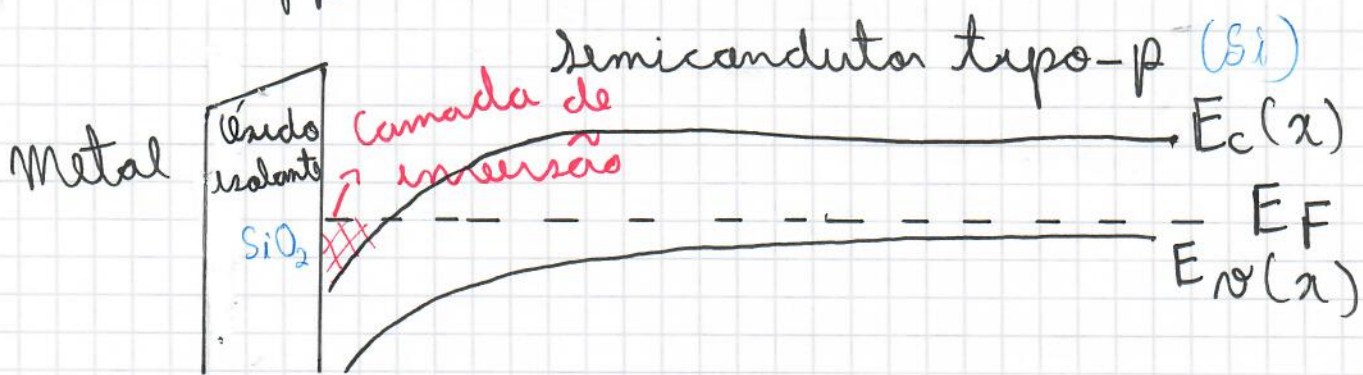
cor mais de um século, a tecnologia das lâmpadas foi a mesma:
eletricidade \rightarrow calor \rightarrow luz visível
Contudo, esse é um processo muito energético porque a luz visível ocupa uma parte diminuta do espectro de radiação de corpo negro.

Um modo óbvio de melhorar esse esquema é transformar eletricidade em luz visível diretamente. Esse objetivo é implementado, por exemplo, pelas LED's (light-emitting diodes).

Variando V , conseguimos mexer na extensão espacial da região de depleção. Quando elétrons e buracos encontram-se lá, eles se aniquilam e emitem luz (fóton). A energia do fóton é bem próxima do gap $\Delta \approx 1-2\text{ eV}$ que cobre o espectro visível. Aqui há preferência por gaps diretos e queremos controlar a cor da luz por meio de Δ . A descoberta do LED azul permitiu a construção de LED's com luz branca e deu o prêmio Nobel de 2014. O processo oposto ao LED é o da célula solar.



MOSFETs (Metal-Oxide-Semiconductor Field Effect Transistors)



Aplicando voltagens forte o suficiente, podemos torcer as bandas tais que $E_c(x)$ cara leem abaixo de E_F nas proximidades da interface.

Como esse é um bom isolante, os elétrons não podem entrar nele. Formamos um gás degenerado de elétrons ($T_F \sim 10\text{K}-100\text{K}$ porque a densidade é baixa)

O que é interessante é que nessa região temos um gás de elétrons bidimensional. Isso ocorre porque a camada de inversão é finita. Isso faz com que o movimento do elétron na direção perpendicular à interface seja aquela de um particula em uma caixa. Se T for baixo o suficiente, apenas o estado fundamental é populado. O movimento ao longo de um plano paralelo à interface é livre.

Isso forma um 2DEG , mesmo que a camada de inversão não possua espessura atômica. O efeito Hall quântico intenso foi descoberto por von Klitzing em um Si MOSFET.